



Investigation of the phase matching condition in the generation of second harmonic by the Wiggler magnetic field in plasma blades in successive reflections with aerospace defense application

Seyed Ali Hosseini Moradi¹,

1. Corresponding Author, Department of Physics, Faculty of Basic Sciences, Khatam Al-Anbiya Air Defense University, Tehran,

Article Information

Abstract

Accepted:
2024/09/19

Received:
2024/11/15

Keywords:

Keyword: Longitudinal and transverse, short pulse, plasma, second harmonic, Wigler field-Aerospace defense

Corresponding Author :
Physicplasma2011@gmail.com

Longitudinal generation plays an important role in detecting and tracking targets in pulse-Doppler radars and long-range radars, which use low frequencies and are used in a variety of radar, sonar, communication, electronic warfare, and laser systems. Second harmonic generation can help improve the performance of radar, laser imaging, communication, and monitoring and tracking systems. In this paper, the second harmonic generation is investigated by propagating a short laser pulse in a cold, low-density plasma in the presence of a Wigler magnetic field, considering the effects of collisions and successive reflections. Using perturbation theory, the components of the first and second harmonic electric field are calculated up to the first order of perturbation, and the effect of successive reflections on the amplitude of the first and second harmonic electric field is examined, and conclusions are drawn by analyzing the desired relationships and drawing the desired diagrams. Finally, the behavior of the harmonic field amplitude for zeroth and first order perturbations in the plasma blade is investigated for different cases and their changes are plotted in terms of different parameters. The results and optimal conditions for different applications are discussed and suggestions are presented.

HOW TO CITE: S. A. Hosseini Moradi, Investigation of the phase matching condition in the generation of second harmonic by the Wigler magnetic field in plasma blades in successive reflections with aerospace defense application, Journal of Aerospace Defense Vol. 3, No. 4, 1403



فصلنامه علمی دفاع هوافضایی

دوره ۳، شماره ۳

زمستان

۴۴-۵۷



مقاله پژوهشی:



بررسی شرط انطباق فاز در فرایند تولید هارمونیک دوم توسط میدان مغناطیسی ویگلر در تیغه‌های پلاسمایی در انعکاس‌های متواالی با کاربرد دفاع هوافضایی

سیدعلی حسینی مرادی^۱

۱. گروه فیزیک، دانشکده علوم پایه، دانشگاه پدافند هوایی خاتم الانبیاء(ص)، تهران،

اطلاعات مقاله

چکیده

تولید امواج طولی نقش مهمی در تشخیص و ردیابی اهداف در راдарهای پالس داپلر و رادارهای برد بلند، که با فرکانس پایین استفاده می‌کنند و در انواع مختلف سیستم‌های راداری، سونار، ارتباطی، جنگ الکترونیک و لیزری کاربرد دارند. تولید هارمونیک دوم می‌تواند به بهبود عملکرد سیستم‌های راداری، تصویربرداری لیزری، ارتباطی و پایش و ردیابی کمک کند. در این مقاله، نحوه تولید هماهنگ دوم در اثر انتشار یک پالس کوتاه لیزر در یک پلاسمای سرد کم چگال در حضور میدان مغناطیسی ویگلر با توجه به اثرات برخورد و انعکاس‌های متواالی مورد بررسی قرار می‌گیرد. با استفاده از تئوری اختلال مؤلفه‌های میدان الکتریکی هماهنگ اول و دوم را تا مرتبه اول اختلال محاسبه نموده و تأثیر انعکاس‌های متواالی را بر روی دامنه میدان الکتریکی هماهنگ‌های اول و دوم را بررسی کرده و با تجزیه و تحلیل روابط مورد نظر و رسم نمودارهای مورد نظر نتیجه‌گیری صورت می‌گیرد. نهایتاً، رفتار دامنه میدان هماهنگ‌ها برای اختلال مرتبه‌ی صفر و اول در تیغه پلاسمایی برای حالات مختلف بررسی شده و تغییرات آنها را بر حسب پارامترهای مختلف رسم کرده و در مورد نتایج و شرایط بهینه برای کاربردهای مختلف بحث نموده و پیشنهاداتی ارائه می‌شود.

تاریخ دریافت: ۱۴۰۳/۰۶/۲۹

تاریخ پذیرش:
۱۴۰۳/۱۲/۱۵

کلیدواژه‌ها:

کلید واژه: امواج طولی و عرضی، پالس کوتاه لیزر، پلاسماهماهنگ دوم، میدان ویگلر-دفاع هوافضایی

نویسنده مسئول:

ایمیل:

Physicplasma2011@gmail.com

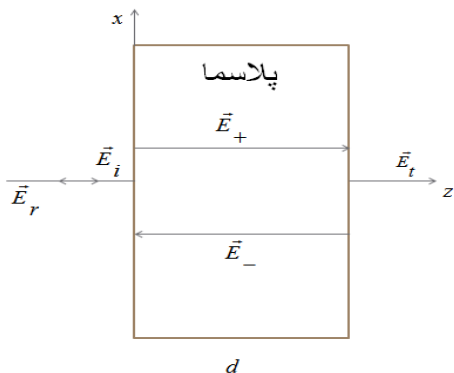
استناد: سیدعلی حسینی مرادی بررسی شرط انطباق فاز در فرایند تولید هارمونیک دوم توسط میدان مغناطیسی ویگلر در تیغه‌های پلاسمایی در انعکاس‌های متواالی با کاربرد دفاع هوافضایی مجله علمی پژوهشی دفاع هوافضایی دوره ۲، شماره ۴، زمستان ۱۴۰۳.

۱- مقدمه

برهم‌کنش امواج الکترومغناطیسی با مواد همیشه از موضوعات جالب برای مطالعه بوده است، با توجه به اینکه مواد موجود در جهان تقریباً حالت پلاسمایی دارند، لذا بررسی امواج درون پلاسما و رفتار این امواج درون پلاسما از موضوعات اساسی در جهان می‌باشد از برهم‌کنش امواج لیزری‌های پرقدرت با پلاسما از اهمیت خاصی برخوردار است [۱]. با توسعه فناوری لیزری‌های پرتوان و متمنکز، امکان بهره‌گیری از آن‌ها در کاربردهای دفاعی و نظامی از جمله سامانه‌های تسليحات انرژی مستقیم و لیزری‌های ضدپهپاد فراهم شده است [۲]. یکی از بسترهای کلیدی در این حوزه، بررسی برهم‌کنش نور لیزر با محیط‌های پلاسماست که می‌تواند منجر به تولید امواج شوک، شتاب‌دهی ذرات و حتی انفجارهای کنترل شده شود [۳]. کنترل این برهم‌کنش‌ها در شرایط مختلف پلاسما، نقش مهمی در بهینه‌سازی عملکرد سامانه‌های دفاعی دارد. به‌ویژه در رژیم‌های غیرخطی و شدید، شناخت دینامیک انتقال انرژی و نحوه ایجاد ناپایداری‌ها در پلاسما، برای طراحی دقیق تجهیزات نظامی ضروری است [۴]. مطالعه برهم‌کنش لیزری‌های پرتوان با پلاسما از دهه ۱۹۷۰ میلادی، به‌ویژه در چارچوب پژوهش‌های همچو شی لیزری آغاز شد، اما به تدریج کاربردهای آن در حوزه‌های دفاعی نیز مورد توجه قرار گرفت [۵]. یکی از زمینه‌های اصلی، شتاب‌دهی ذرات بردار توسط فشار تابشی یا میدان‌های الکتریکی ناشی از ایجاد پلاسما بود که امکان تولید پروژه‌های یونیزان با انرژی بالا را فراهم می‌کرد [۳]. مطالعاتی همچون تحقیقات [۴] نشان دادند که در شدت‌های بسیار بالا، برهم‌کنش به رژیم‌های غیرخطی وارد می‌شود و باعث بروز پدیده‌هایی چون شکاف‌های الکترونی، ناپایداری‌های موجی و حرارت غیر یکنواخت الکترون‌ها می‌گردد. در زمینه نظامی، پژوهش‌هایی توسط Hora و همکاران به امکان استفاده از این فناوری برای تخریب اهداف در فاصله دور و یا تولید پالس‌های الکترومغناطیسی با قابلیت تداخل در سامانه‌های الکترونیکی اشاره کرده‌اند. با این حال، رفتار پیچیده پلاسما در مقیاس‌های زمانی و مکانی مختلف، موجب شده است که مدل‌سازی دقیق و قابل اتکا از این برهم‌کنش‌ها همچنان یکی از چالش‌های اصلی باقی بماند [۶]. بیان مسئله در این مقاله این است که برهم‌کنش امواج الکترومغناطیسی با پلاسما در حضور یا عدم حضور میدان مغناطیسی چه تاثیری بر نور لیزر خواهد داشت. روش کار بدین صورت است که ابتدا یک تیغه پلاسمایی را در مقابل نور لیزر قرار داده می‌شود و با توجه به رفتار غیر خطی نور لیزر در پلاسما و با استفاده از اثر اختلال معادلات مربوط به میدان الکتریکی در حضور میدان مغناطیسی ویگلر محاسبه شده سپس نمودارها ترسیم می‌گرددند. این پژوهش با هدف مدل‌سازی و تحلیل پدیده‌های کلیدی در برهم‌کنش لیزر با پلاسما، به دنبال توسعه دانش بنیادی مورد نیاز برای تقویت سامانه‌های دفاعی نوین است.

۲- تولید هارمونیک دوم از پلاسمای غیرمغناطیسی

فرض می‌کنیم که یک پالس لیزر با قطبش خطی P در یک تیغه‌ی پلاسمایی که موج در آن دارای انعکاس‌های متواالی است با چشمیه موج الکترومغناطیسی تابشی، در جهت محور X ، با بسامد ω در جهت محور Z انتشار می‌یابد. پلاسمایی مورد استفاده، یک پلاسمای سرد کم چگال و مطابق شکل (۱) است. در این صورت با استفاده از معادله انتقال جرم، تکانه و ماکسول مربوط به هماهنگ اول و دوم به محاسبه دامنه‌ی میدان داخل تیغه تیغه‌ی پلاسمایی مطابق روابط زیر پرداخته می‌شود [۸].



شکل(۱) نشان‌دهنده تیغه‌ی پلاسمایی است که میدان الکتریکی به صورت عمود بر تیغه تابیده است. و قطبش P و موج TM در نظر گرفته شده است.

میدان موج ورودی بر تیغه‌ی پلاسمایی به صورت زیر است:

$$\hat{\vec{E}}_{1i} = \hat{\vec{E}}_{i0} e^{i(\hat{k}_0 z - \omega t)} \quad (1)$$

به طوری که $k_0 = \omega/c$ است. میدان الکتریکی داخل تیغه‌ی پلاسمایی به صورت زیر در نظر گرفته می‌شود:

$$\hat{\vec{E}}_1^0 = \left[\hat{\vec{E}}_{10}^+ e^{i(\hat{k}_1 z - \omega t)} + \hat{\vec{E}}_{10}^- e^{-i(\hat{k}_1 z + \omega t)} \right] \hat{e}_x \quad (2)$$

علامت‌های مثبت و منفی نشانگر امواجی است که به ترتیب در جهت مثبت و منفی محور Z

$$\begin{aligned} \text{انتشار می‌یابد به طوری که } \hat{k}_1 &\text{ از رابطه‌ی زیر بدست می‌آید:} \\ \hat{\vec{k}}_1 &= (k_1 + i\alpha_1) \hat{e}_z \end{aligned} \quad (3)$$

و مقدار $\hat{\vec{E}}_{10}^+(\omega)$ و $\hat{\vec{E}}_{10}^-(\omega)$ است. در تیغه‌ی پلاسمایی مقدارهای $k_1 = k(\omega)$ و $\alpha_1 = \alpha(\omega)$ را می‌توان با توجه به انعکاس‌های متواالی به صورت زیر بدست آورد:

(۴)

$$\hat{E}_{10}^{+0} = \left(\frac{\hat{t}_{12}}{1 - \hat{r}_{21}\hat{r}_{23}e^{-2\alpha d}} \right) \hat{E}_{i0}, \quad \hat{E}_{10}^{-} = \left(\frac{\hat{t}_{12}\hat{r}_{23}}{1 - \hat{r}_{21}\hat{r}_{23}e^{-2\alpha d}} \right) \hat{E}_{i0}$$

با استفاده از قانون القای فارادی می‌توان میدان مغناطیسی برای هارمونیک را به دست آورد.
سرعت سوق هماهنگ دوم اختلال مرتبه صفرم از رابطه‌ی زیر محاسبه می‌گردد.

$$\hat{V}_2^0 = \hat{\gamma}_2 \hat{E}_2^0 + \frac{\hat{\gamma}_1 \hat{\gamma}_2 \hat{k}}{2\omega} \left((\hat{E}_1^{+0})^2 - (\hat{E}_1^{-0})^2 \right) \hat{e}_z \quad (5)$$

به طوری که:

$$\hat{\gamma}_2 = \frac{e}{im(\omega + iv)}, \quad \hat{\gamma}_1 = \frac{e}{im(\omega - iv)} \quad (6)$$

که در رابطه‌ی (۵) جمله‌ی اول و دوم به ترتیب نشان دهنده‌ی مولفه‌های خطی و غیرخطی سرعت می‌باشند. در این مرحله \hat{V}_2^0 را در رابطه‌ی (۵) جایگذاری کرده، چگالی جریان برای هماهنگ دوم برابر می‌شود با:

$$\hat{j}_2^0 = -n_0 e \hat{\gamma}_2 \hat{E}_2^0 - \frac{n_0 \hat{k} \hat{\gamma}_1 \hat{\gamma}_2 e}{2\omega} \left(\hat{E}_1^{+0^2} - \hat{E}_1^{-0^2} \right) \hat{e}_z \quad (7)$$

برای محاسبه‌ی \hat{n}_2 از معادله‌ی انتقال جرم استفاده می‌کنیم با این توضیح که چون محاسبات برای هماهنگ دوم انجام می‌شود می‌توانیم در محاسبات به جای $\frac{\partial}{\partial t}$ مقدار $-2i\omega$ را قرار دهیم.

$$\hat{n}_2^0 = \frac{n_0}{2i\omega} \left[\hat{\gamma}_2 \vec{\nabla} \cdot \hat{E}_2^0 + \frac{\hat{\gamma}_1 \hat{\gamma}_2 \hat{k}}{2\omega} \vec{\nabla} \cdot \left(\hat{E}_1^{+0^2} - \hat{E}_1^{-0^2} \right) \right] \hat{e}_z \quad (8)$$

برای محاسبه‌ی (۸) از رابطه‌ی مربوط به قانون گاووس برای هماهنگ دوم استفاده شده است.

$$\vec{\nabla} \cdot \hat{E}_2^0 = -4\pi e \left[\gamma_2 \frac{n_0}{2i\omega} \vec{\nabla} \cdot \hat{E}_2^0 + \frac{n_0 \gamma_1 \gamma_2 k}{4i\omega^2} \vec{\nabla} \cdot \left(\hat{E}_1^{+0^2} - \hat{E}_1^{-0^2} \right) \right] \hat{e}_z \quad (9)$$

نهایتاً معادله‌ی دامنه‌ی حاکم بر هماهنگ دوم بدون اختلال به صورت زیر محاسبه می‌شود.

$$\hat{E}_2^0 = i \frac{e \hat{k}_1 \omega_p^2}{4m\omega^2 (2\omega + iv)(\omega + iv) \varepsilon_2} \left(\hat{E}_1^{+0^2} - \hat{E}_1^{-0^2} \right) \hat{e}_z \quad (10)$$

(11)

$$\hat{E}_2^{0s} = \left(\hat{E}_{20}^{+0s} e^{2i(\hat{k}_1 z - \omega t)} - \hat{E}_{20}^{-0s} e^{-2i(\hat{k}_1 z + \omega t)} \right) \hat{e}_z$$

به صورت زیر:

$$\Omega_b = \frac{\omega_b}{\omega}, \Omega_t = \frac{\nu}{\omega}, \Omega_p = \frac{\omega_p}{\omega} \quad (12)$$

آنگاه خواهیم داشت:

$$\hat{E}_{20}^{+0s} = \frac{ie\Omega_p^4 k_1}{4m\hat{\epsilon}_2(2+i\Omega_c)(1+i\Omega_c)\omega_p^2} E_{10}^{+2} \quad (13)$$

$$\hat{E}_{20}^{-0s} = \frac{ie\Omega_p^4 k_1}{4m\hat{\epsilon}_2(2+i\Omega_c)(1+i\Omega_c)\omega_p^2} E_{10}^{-2}$$

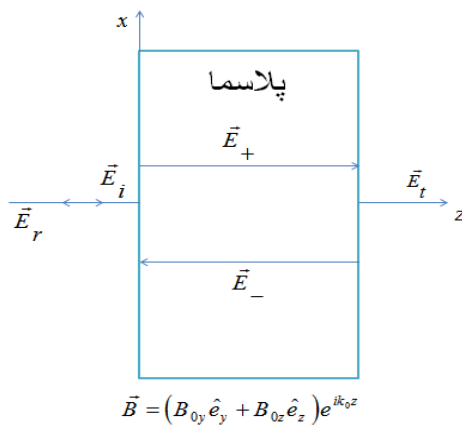
به طوری که اندیس صفر پایین نشانگر دامنه و اندیس صفر بالا نشانگر مرتبه ای صفرم اختلال است و شاخص ۵ مشخصه جواب خصوصی است. همان‌طور که دیده می‌شود راستای انتشار موج در جهت میدان الکتریکی می‌باشد. پس جواب خصوصی معادله‌ی موج، طولی می‌باشد.

۳- تولید هماهنگ دوم از پلاسمای مغناطیسی در تابش عمودی

در این مرحله، محاسبات را برای هماهنگ دوم در یک تیغه‌ی پلاسمایی که موج دارای انعکاس‌های متوالی است انجام می‌شود. چشممه موج الکترومغناطیسی تابشی، دارای قطبش خطی P و جهت انتشار موج در صفحه XZ است و راستای انتشار موج در جهت محور Z در نظر گرفته شده است. پلاسمای مورد استفاده، یک پلاسمای سرد مغناطیسی کم چگال و دارای برخورد است. لذا با فرض کوچک بودن میدان مغناطیسی می‌توان جواب را به صورت زیر نوشت:

$$\hat{q}_i = \hat{q}_i^0 + \hat{q}_i^1 + \hat{q}_i^2 + \dots \quad (14)$$

به طوری که اندیس بالا مرتبه اختلال (توان میدان مغناطیسی B_0) را نشان می‌دهد. جواب در حالتی که میدان وجود ندارد در بخش قبل حل و مورد بررسی قرار گرفته است. لذا مسئله را برای اختلال مرتبه اول حل می‌کنیم پس شاخص ۱ بالای کمیت‌ها یعنی وابستگی کمیت‌ها به توان‌های اول میدان مغناطیسی است [۷۴ و ۷۵].



شکل(۲) نشان‌دهنده تیغه‌ی پلاسمایی است که میدان الکتریکی به صورت عمود بر تیغه تابیده است. و قطبیس P و موج TM درنظر گرفته شده است.

با حل معادله‌ی موج، میدان الکتریکی موج زیر را که مجموعه‌ای از موج طولی و عرضی است، درون تیغه‌ی پلاسمایی بدست می‌آید [۹]:

$$\hat{E}_1^1 = (\hat{f}_1^+ e^{i((\hat{k}_1+k_0)z-\omega t)} + \hat{f}_1^- e^{-i((\hat{k}_1-k_0)z+\omega t)}) \hat{e}_z + \\ (\hat{f}_2^+ e^{i((\hat{k}_1+k_0)z-\omega t)} + \hat{f}_2^- e^{-i((\hat{k}_1-k_0)z+\omega t)}) \hat{e}_y \quad (15)$$

به‌طوری که ضرایب ثابت از رابطه‌ی زیر بدست می‌آید.

$$\hat{f}_1^+ = -i \frac{\omega \omega_p^2 \omega_{by}}{2c^2(\omega+i\nu)^2} E_{10}^+ + \frac{\omega_p^2 \omega_{by}}{2\omega(\omega+i\nu)^2} (\hat{k}_1 + k_0)^2 E_{10}^+ \quad (16)$$

$$\hat{f}_1^- = -i \frac{\omega \omega_p^2 \omega_{by}}{2c^2(\omega+i\nu)^2} E_{10}^- + \frac{\omega_p^2 \omega_{by}}{2\omega(\omega+i\nu)^2} (\hat{k}_1 - k_0)^2 E_{10}^- \quad (17)$$

$$\hat{f}_2^+ = -i \frac{\omega_p^2 \omega_{bz}}{2c^2(\omega+i\nu)^2} E_{10}^+ , \quad \hat{f}_2^- = -i \frac{\omega_p^2 \omega_{bz}}{2c^2(\omega+i\nu)^2} E_{10}^- \quad (17)$$

همچنین معادله‌ی حاکم بر قسمت موهومنیک دوم مرتبه اختلال اول را داریم:

$$(-2i\omega + \nu) \hat{V}_2^1 + \frac{1}{2} \left[(\hat{V}_1^0 \cdot \vec{\nabla}) \hat{V}_1^1 + (\hat{V}_1^1 \cdot \vec{\nabla}) \hat{V}_1^0 \right] = \\ -\frac{e}{m} \hat{E}_2^0 - \frac{e}{mc} \hat{V}_2^0 \times \hat{B}_0 - \frac{e}{2mc} (\hat{V}_1^0 \times \hat{B}_1^1 + \hat{V}_1^1 \times \hat{B}_1^0) \quad (18)$$

با محاسبه تک تک جملات میدان الکتریکی هماهنگ دوم مرتبه اختلال اول را از رابطه‌ی زیر محاسبه می‌شود.

$$(19)$$

$$\hat{E}_2^{1s} = (\hat{E}_{20z}^{1+s} e^{i(2\hat{k}_1+k_0)z-2\omega t} + \hat{E}_{20z}^{1-s} e^{-i(2\hat{k}_1+k_0)z-2\omega t} + \hat{E}_{20z}^{1+s} e^{-i(k_0z-\omega t)}) \hat{e}_z \\ (\hat{E}_{20x}^{1+s} e^{i(2\hat{k}_1+k_0)z-2\omega t} + \hat{E}_{20x}^{1-s} e^{-i(2\hat{k}_1+k_0)z-2\omega t} + \hat{E}_{20x}^{1+s} e^{i(k_0z-\omega t)}) \hat{e}_x \quad (20)$$

به طوری که \hat{E}_{20z}^{1-s} از رابطه‌های زیر محاسبه می‌شوند:

$$\hat{E}_{20z}^{1+s} = \frac{\left(\frac{-2i\pi en_0 m \hat{\gamma}_2^2}{\omega} (2\hat{k}_1 + k_0)^2 + \frac{8i\pi\omega en_0 m}{c^2} \right) \hat{f}_5^2}{-(2\hat{k}_1 + k_0)^2 + 4\frac{\omega^2}{c^2}}$$

$$\hat{E}_{20z}^{1-s} = \frac{\left(\frac{-2i\pi en_0 m \hat{\gamma}_2^2}{\omega} (2\hat{k}_1 - k_0)^2 + \frac{2i\pi\omega en_0 m}{c^2} \right) \hat{f}_6^2}{-(2\hat{k}_1 - k_0)^2 + 4\frac{\omega^2}{c^2}}$$

بررسی شرط انتباط فاز در فرایند تولید هارمونیک دوم توسط میدان مغناطیسی و بیگلر در

$$\hat{E}_{20z}^{1\pm s} = \frac{\left(\frac{8i\pi en_0 m \hat{\gamma}_2}{\omega} (2\hat{k}_1 - k_0) \hat{f}_7 - \frac{2i\pi en_0 m}{\omega} k_0^2 \right)}{-k_0^2 + \frac{\omega^2}{c^2} \hat{\epsilon}_2}$$

$$\hat{E}_{20x}^{1+s} = \frac{\left(-\frac{8i\pi\alpha en_0 \hat{\gamma}_0^2}{2c^3} B_{0y} E_2^{+0} \hat{f}_7 - \frac{\hat{\gamma}_1 \hat{\gamma}_2 \hat{k}_1}{2\omega} + \frac{8i\pi\alpha en_0 \hat{\gamma}_2}{2c^3} \hat{f}_3 \right)}{-\left(2\hat{k}_1 + k_0 \right)^2 + 4 \frac{\omega^2}{c^2} \hat{\epsilon}_2}$$

همان طور که در معادله‌ی بالا دیده می‌شود میدان الکتریکی در جهت محور X و Z می‌باشد و جهت انتشار موج نیز در راستای محور Z می‌باشد. از این‌رو موج ایجاد شده در تیغه‌ی پلاسمای به صورت ترکیبی از موج طولی و عرضی است. که نوع عرضی و طولی بودن آن نقش مهمی در کاربرد دفاعی خواهد داشت [۱۰].

۴ جواب عمومی معادلات میدان الکتریکی

جواب عمومی معادله‌ی موج از جمع جواب عمومی معادله‌ی همگن و جواب خصوصی معادله غیرهمگن به دست می‌آید. با توجه به شکل (۲)، میدان‌های الکتریکی نواحی چپ و راست تیغه پلاسمای را به ترتیب با \vec{E}_2^L و \vec{E}_2^R نشان دهیم، جواب در خلاء را به صورت زیر معرفی می‌کنیم:

$$\hat{E}_2^L = \hat{E}_{20}^L e^{-2i(k_0 z + \alpha t)}, \quad \hat{E}_2^R = \hat{E}_{20}^R e^{2i(k_0 z - \alpha t)} \quad (۲۱)$$

از طرفی معادله‌ی موج در تیغه پلاسمایی به صورت زیر به دست می‌آید:

$$\hat{E}_2^p = \hat{E}_{20}^{+g} e^{i(\hat{k}_2 z - 2\alpha t)} + \hat{E}_{20}^{-g} e^{-i(\hat{k}_2 z + \alpha t)} +$$

$$\hat{E}_{20}^{s-} e^{2i(\hat{k}_1 z - \alpha t)} + \hat{E}_{20}^{s+} e^{-2i(\hat{k}_1 z + \alpha t)} \quad (۲۲)$$

به طوری که g مشخصه جواب عمومی معادلات همگن است. با توجه به قانون القای فارادی می‌توان میدان مغناطیسی را برای هر کدام از میدان‌های بالا به دست آورد:

$$\hat{B}_2^p = \frac{1}{2} \left[\frac{\hat{k}_2}{k_0} (\hat{E}_{2x}^{+g} - \hat{E}_{2x}^{-g}) + 2 \frac{\hat{k}_1}{k_0} (\hat{E}_{2x}^{+s} - \hat{E}_{2x}^{-s}) \right] \hat{e}_y \quad (۲۳)$$

از پیوستگی مولفه‌های عمودی بردار جابه‌جایی الکتریکی در سطوح مرزی خواهیم داشت:

$$\hat{E}_{20z}^L = \hat{\epsilon}_2 \left(\hat{E}_{20z}^{+g} + \hat{E}_{20z}^{-g} + \hat{E}_{20z}^{+s} + \hat{E}_{20z}^{-s} \right) \quad (۲۴)$$

$$\hat{E}_{20z}^R e^{2ik_0 d} = \hat{\epsilon}_2 \left(\hat{E}_{20z}^{+g} e^{i(\hat{k}_2 + k_0)d} + \hat{E}_{20z}^{-g} e^{-i(\hat{k}_2 + k_0)d} + \hat{E}_{20z}^{+s} e^{2i(\hat{k}_1 + k_0)d} + \hat{E}_{20z}^{-s} e^{-2i(\hat{k}_1 - k_0)d} \right) \quad (۲۵)$$

چون میدان الکتریکی درون خلاء عرضی است، لذا مولفه‌ی عمودی میدان الکتریکی درون خلاء صفر است، لذا داریم:

(۲۶)

$$\hat{E}_{20z}^{+g} = \frac{\hat{E}_{20z}^{+s} (e^{2i(\hat{k}_1+k_0)d} - e^{i(\hat{k}_2+k_0)d}) + \hat{E}_{20z}^{-s} (e^{-2i(\hat{k}_1+k_0)d} - e^{i(\hat{k}_2-k_0)d})}{-2i \sin((\hat{k}_2+k_0)d)} \quad (27)$$

$$\hat{E}_{20z}^{-g} = \frac{\hat{E}_{20z}^{+s} (e^{2i(\hat{k}_2-k_0)d} - e^{2i(\hat{k}_1+k_0)d}) + \hat{E}_{20z}^{-s} (e^{i(\hat{k}_2+k_0)d} - e^{-i(\hat{k}_2-k_0)d})}{-2i \sin((\hat{k}_2-k_0)d)} \quad (28)$$

همچنین از پیوستگی مولفه‌های مماسی میدان الکتریکی میدان‌های مغناطیسی در سطوح مرزی خواهیم داشت:

$$\hat{E}_{20x}^L = -\frac{1}{2} \left[\left(\frac{\hat{k}_2}{k_0} + 1 \right) \hat{E}_{20x}^{+g} - \left(\frac{\hat{k}_2}{k_0} - 1 \right) \hat{E}_{20x}^{-g} + \left(\frac{2\hat{k}_1}{k_0} + 1 \right) \hat{E}_{20x}^{+s} - \left(\frac{2\hat{k}_1}{k_0} - 1 \right) \hat{E}_{20x}^{-s} \right] \quad (28)$$

$$\hat{E}_{20x}^R = \frac{1}{2} \left[\left(\frac{\hat{k}_2}{k_0} + 1 \right) \hat{E}_{20x}^{+g} e^{i(\hat{k}_2+k_0)d} - \left(\frac{\hat{k}_2}{k_0} - 1 \right) \hat{E}_{20x}^{-g} e^{-i(\hat{k}_2-k_0)d} + \left(\frac{2\hat{k}_2}{k_0} + 2 \right) \hat{E}_{20x}^{+s} e^{2i(\hat{k}_2+k_0)d} - \left(\frac{2\hat{k}_2}{k_0} - 2 \right) \hat{E}_{20x}^{-s} e^{-2i(\hat{k}_2-k_0)d} \right] e^{-i2k_1d} \quad (29)$$

از حل همزمان دو معادله‌ی (۲۸) و (۲۹)، میدان‌های کلی درون تیغه پلاسمای بدست می‌آیند:

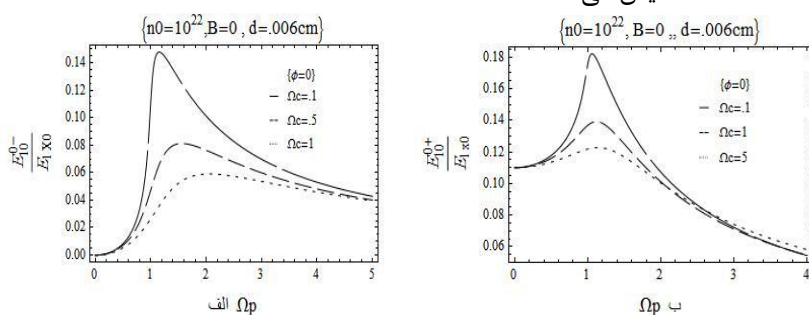
$$\hat{E}_{20x}^{+g} = \frac{2 \left(1 + \frac{\hat{k}_1}{k_0} \right) \left(1 - \frac{\hat{k}_2}{2k_0} \right) (e^{i(2\hat{k}_1+k_0)d} - e^{-ik_2d})}{-2i \left(1 - \frac{\hat{k}_2^2}{4k_0^2} \right) \sin(\hat{k}_2 d)} \hat{E}_{20x}^{+s} + \frac{\left(\frac{2\hat{k}_1}{k_0} \right) \left(1 - \frac{\hat{k}_2}{2k_0} \right) (e^{-i(2\hat{k}_1-k_0)d} - e^{-ik_2d})}{-2i \left(1 - \frac{\hat{k}_2^2}{4k_0^2} \right) \sin(\hat{k}_2 d)} \hat{E}_{20x}^{-s} \quad (30)$$

$$\hat{E}_{20x}^{-g} = \frac{2\left(1 + \frac{\hat{k}_1}{k_0}\right)\left(1 + \frac{\hat{k}_2}{2k_0}\right)(e^{-ik_2 d} - e^{i(2\hat{k}_1 + k_0)d})}{-2i\left(1 - \frac{\hat{k}_2^2}{4k_0^2}\right)\sin(\hat{k}_2 d)} \hat{E}_{20x}^{+s} + \frac{\left(\frac{2\hat{k}_1}{k_0}\right)\left(1 - \frac{\hat{k}_2}{2k_0}\right)(e^{-ik_2 d} - e^{-i(2\hat{k}_1 - k_0)d})}{-2i\left(1 - \frac{\hat{k}_2^2}{4k_0^2}\right)\sin(\hat{k}_2 d)} \hat{E}_{20x}^{-s}$$

برای اختلال مرتبه صفرم، E_2^s تنها دارای مولفه‌هایی در راستای محور z است و \hat{E}_{20x}^{+s} و \hat{E}_{20x}^{-g} هر دو صفر هستند. در نتیجه \hat{E}_{20x}^{+g} و \hat{E}_{20x}^{-s} هر دو صفر هستند و در نتیجه در خلاء نیز هیچ‌گونه موج هارمونیک دوم وجود ندارد.

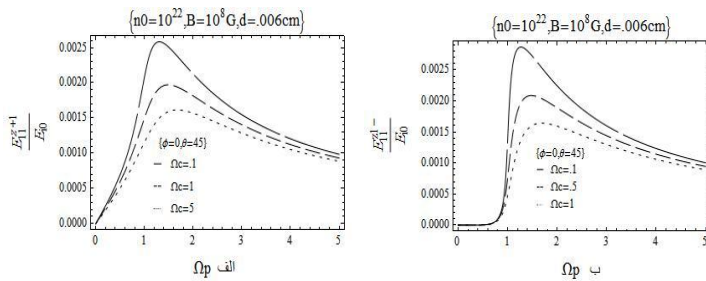
۵- نتایج و بحث

با استفاده از معادله انتقال جرم، تکانه و ماکسول مربوط به همانگ اول و دوم در حضور میدان مغناطیسی ویگلر و حالت غیرمغناطیسی به صورت تحلیلی حل و سپس با استفاده از نرم‌افزار متمتیکا دامنه‌ی میدان‌های الکتریکی هارمونیک اول و دوم داخل تیغه تیغه‌ی پلاسمایی ترسیم شد. با توجه به نمودارهای زیر نسبت این دامنه‌ها به دامنه موج ورودی با مشخصات مختلف نمایش می‌دهد.



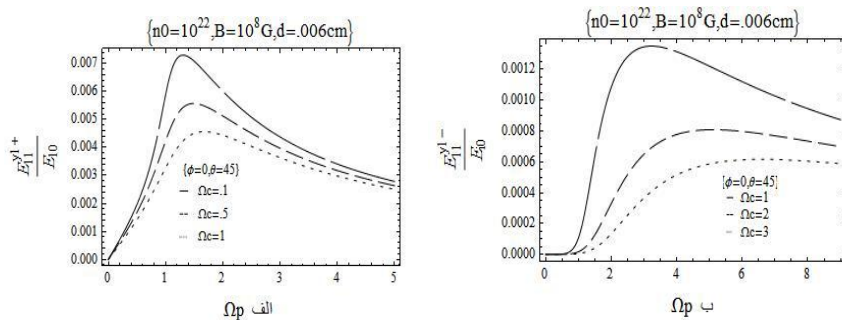
شکل (۳) نمودارهای مولفه‌ی X میدان الکتریکی بر حسب Ω_p در تیغه‌ی پلاسمایی برای هارمونیک اول بدون اثر میدان مغناطیسی با قطبش P (TM). الف: انتشار موج در جهت مثبت محور z ب: انتشار موج در جهت منفی محور z .

در شکل (۳) نسبت دامنه‌های میدان‌های الکتریکی هارمونیک اول به دامنه میدان موج ورودی در تیغه پلاسمایی در عدم حضور میدان مغناطیسی رسم شده اند در این حالت اثرات اختلال در نظر گرفته نشده است.



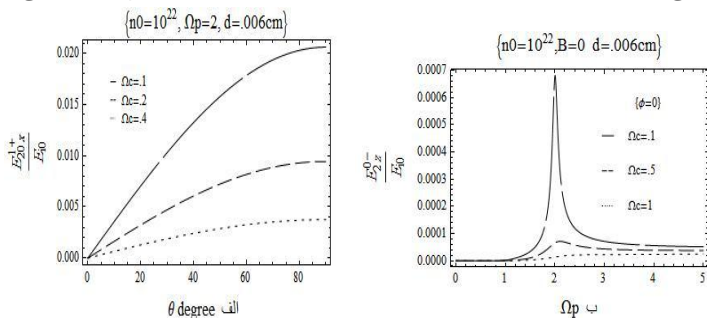
شکل (۴) نمودارهای مولفه‌ی \vec{z} میدان الکتریکی بر حسب Ω_p در تیغه‌ی پلاسمایی برای هارمونیک اول با اثر میدان مغناطیسی برای قطبش P (TM). الف: انتشار موج در جهت مشیت محور \vec{z} ب: انتشار موج در جهت منفی محور \vec{z} .

در شکل (۴) نسبت دامنه‌های میدان‌های الکتریکی هارمونیک اول به دامنه میدان موج ورودی در تیغه‌ی پلاسمایی در حضور میدان مغناطیسی ویگلر رسم شده‌اند. در این حالت اثرات اختلال مرتبه اول نیز در نظر گرفته شده است.



شکل (۵) نمودارهای مولفه‌ی \vec{y} میدان الکتریکی بر حسب Ω_p در تیغه‌ی پلاسمایی برای هارمونیک اول با اثر میدان مغناطیسی برای قطبش P (TM). الف: انتشار موج در جهت مشیت محور \vec{z} ب: انتشار موج در جهت منفی محور \vec{z} .

در شکل (۵) نسبت دامنه‌های میدان‌های الکتریکی عرضی هارمونیک اول به دامنه میدان موج ورودی در تیغه‌ی پلاسمایی در حضور میدان مغناطیسی ویگلر رسم شده‌اند. در این حالت اثرات اختلال مرتبه اول نیز در نظر گرفته شده است. مولفه‌های میدان عرضی محاسبه شده‌اند



شکل ۶- مولفه‌ی x میدان الکتریکی هارمونیک دوم بر حسب θ با بردار انتشار P در تیغه‌ی پلاسمایی با اختلال مرتبه‌ی اول و قطبش P الف: انتشار موج در جهت مثبت محور z ب: انتشار موج در جهت منفی

در شکل (۶) نسبت دامنه‌های میدان‌های الکتریکی هارمونیک دوم به دامنه میدان موج ورودی در تیغه‌ی پلاسمایی در حضور میدان مغناطیسی ویگلر رسم شده‌اند. در این حالت اثرات اختلال مرتبه‌ی اول نیز در نظر گرفته شده است.

۶- نتیجه‌گیری

با تابش عمودی موج الکترومغناطیسی با تیغه‌ی پلاسمایی غیرمغناطیسی می‌توان به این نتیجه رسید که موج در تیغه‌ی پلاسمایی فقط به صورت طولی وجود دارد و امواج الکترومغناطیسی وجود ندارند. در یک پلاسمای غیرمغناطیسی به علت همسانگردی، درون آن هیچ‌گونه هماهنگ زوجی تولید نمی‌شود و هماهنگ دوم فقط در روی سطح ایجاد می‌شود. اما وقتی یک میدان مغناطیسی ویگلر در محیط پلاسمای اعمال می‌شود. هماهنگ دوم علاوه بر روی سطح، در محیط پلاسمای نیز تولید می‌شود. میدان مغناطیسی اعمال شده در پلاسما بر روی دامنه میدان الکتریکی هماهنگ‌های اول و دوم نیز تاثیرگذار است به‌طوری که با توجه به نمودارهای رسم شده می‌توان مشاهده کرد که در پلاسمای غیرمغناطیسی، با افزایش فرکانس پلاسما از صفر، دامنه‌ی کل ابتدا افزایش و سپس کاهش می‌یابد و در نهایت به صفر میل می‌کند. در صورتی که در حالتی که پلاسما مغناطیسی باشد با افزایش فرکانس پلاسما، دامنه میدان زودتر کاهش می‌یابد، این تغییر رفتار ناشی از تاثیر میدان مغناطیسی در محیط پلاسما است. در مورد تاثیر میدان مغناطیسی بر روی بازده توان انعکاسی هماهنگ دوم، می‌توان از مقایسه‌ی شکل‌های (۵) و (۶) و روابط (۱۹) تا (۲۰) به این نتیجه رسید که اعمال میدان مغناطیسی باعث افزایش بازدهی توان انعکاسی می‌شود و دامنه‌ی میدان الکتریکی در تیغه‌های پلاسمایی برای هارمونیک‌های اول و دوم دارای رزونانس می‌باشد و فرکانس برخورد سبب کاهش دامنه‌ی میدان‌ها می‌شود. همچنین

افزایش ضخامت تیغه، میزان میرایی دامنه را افزایش می‌دهد و افزایش میدان مغناطیسی خارجی سبب افزایش دامنه میدان الکتریکی خواهد شد. این فناوری می‌تواند در آینده‌ای نزدیک، تحولی در سیستم‌های لیزری، جنگ الکترونیک، رادارهای پیشرفته، و دفاع هوافضایی ایجاد کند. ترکیب آن با پلاسماهای غیرخطی و میدان مغناطیسی ویگلر امکان تولید و هدایت امواج الکترومغناطیسی را فراهم می‌کند که می‌تواند در مقابله با تهدیدات مدرن مثل موشک‌های هایپرسونیک، پهپادهای مخفی‌کار و سامانه‌های فضایی متخاصم مؤثر باشد.

۶. قدردانی

با تشکر دکتر حسن رنجبر عسگری که در تحلیل نمودارهای این مقاله زحمت‌های زیادی کشیدند.

۷. تعارض منافع

نویسنده‌گان) اعلام می‌دارند که در مورد انتشار این مقاله تضاد منافع وجود ندارد. علاوه بر این، موضوعات اخلاقی شامل سرقت ادبی، رضایت آگاهانه، سوء‌رفتار، جعل داده‌ها، انتشار و ارسال مجدد و مکرر توسط نویسنده‌گان رعایت شده است.

۸. دسترسی آزاد

این نشریه دارای دسترسی باز است و اجازه اشتراک (تکثیر و بازاریابی محتوا به هر شکل) و انطباق (بازترکیب، تغییر شکل و بازسازی بر اساس محتوا) را می‌دهد.

۹-فهرست منابع

1. Sharma, V., V. Thakur, and N. Kant, Second harmonic generation of cosh-Gaussian laser beam in magnetized plasma. *Optical and Quantum Electronics*, 2020. 52(10): p. 444.
2. Hora, H. Research cooperation with past president Jak Kelly. in *Journal and Proceedings of the Royal Society of New South Wales*. 2013.
3. Macchi, A., M. Borghesi, and M. Passoni, Ion acceleration by superintense laser-plasma interaction. *Reviews of Modern Physics*, 2013. 85(2): p. 751-793.
4. Sentoku, Y. and A.J. Kemp, Numerical methods for particle simulations at extreme densities and temperatures: Weighted particles, relativistic collisions and reduced currents. *Journal of computational Physics*, 2008. 227(14): p. 6846-6861.
5. Lindl, J.D., R.L. McCrory, and E.M. Campbell, Progress toward ignition and burn propagation in inertial confinement fusion. *Physics Today*, 1992. 45(9): p. 32-40.
6. Gibbon, P., Short pulse laser interactions with matter: an introduction. 2005: World Scientific.
7. Gold, S.H. and G.S. Nusinovich, Review of high-power microwave source research. *Review of Scientific instruments*, 1997. 68(11): p. 3945-3974.
8. Tang, D., et al., Interaction of electromagnetic waves with a magnetized nonuniform plasma slab. *IEEE Transactions on Plasma Science*, 2003. 31(3): p. 405-410.
9. Ferrante, G., M. Zarcone, and S. Uryupin, Laser even harmonics generation by a plasma embedded in a static electric field. *Laser Physics Letters*, 2004. 1(4): p. 167-171.
10. Haberland, H., M. Bonitz, and D. Kremp, Harmonics generation in electron-ion collisions in a short laser pulse. *Physical Review E*, 2001. 64(2): p. 026405.